

# РОЖДЕНИЕ ЭЛЕКТРОН-ПОЗИТРОННОЙ ПАРЫ ЭЛЕКТРОНОМ В МАГНИТНОМ ПОЛЕ ВБЛИЗИ ПОРОГА ПРОЦЕССА

***O. P. Новак<sup>a,\*</sup>, R. I. Холодов<sup>\*\*</sup>, П. И. Фомин<sup>a,b\*\*\*</sup>***

*<sup>a</sup> Институт прикладной физики Национальной академии наук Украины  
40030, Сумы, Украина*

*<sup>b</sup> Институт теоретической физики им. Н. Н. Боголюбова Национальной академии наук Украины  
03680, Киев, Украина*

Поступила в редакцию 22 декабря 2009 г.

Рассмотрен процесс рождения электрон-позитронной пары электроном в сильном магнитном поле вблизи порога процесса. Показано, что процесс более вероятен, если спин начального электрона ориентирован вдоль поля, при этом вероятность процесса составляет  $10^{13} \text{ с}^{-1}$  в случае, когда напряженность магнитного поля равна  $H = 4 \cdot 10^{12} \text{ Гс}$ .

## 1. ВВЕДЕНИЕ

Исследование квантово-электродинамических процессов сохраняет свою актуальность в связи с наличием нейтронных звезд с магнитными полями, которые сравнимы или превышают критическое швингеровское поле  $H_c \approx 4.41 \cdot 10^{13} \text{ Гс}$  [1].

Рождение электрон-позитронных пар является важным элементом в моделях пульсаров, поскольку наличие электрон-позитронной плазмы считается необходимым условием возникновения когерентного радиоизлучения. Большое число теоретических работ посвящено объяснению отсутствия радиопульсаров с большими периодами, что может быть связано с прекращением образования пар. Например, в работе [2] рассмотрены механизмы генерации плазмы посредством одно- и двухфотонного фоторождения. Процесс рождения пары электроном может составить конкуренцию указанным процессам в сильных полях.

В лабораторных условиях магнитные поля достаточной напряженности пока недостижимы. Рекордное постоянное магнитное поле составляет  $10^6 \text{ Гс}$  [3], импульсное —  $3 \cdot 10^7 \text{ Гс}$  [4]. Однако процесс рождения пары электроном экспериментально наблюдал-

ся в сильном лазерном поле в СЛАК (США) [5]. Как отмечают авторы [5], последовательная квантово-электродинамическая (КЭД) теория данного процесса не построена.

Отметим также, что КЭД-процессы имеют место при столкновениях тяжелых ионов. Если прицельный параметр имеет порядок  $10^{-11} \text{ см}$ , то магнитные поля в области между ионами могут достигать величины  $10^{12} \text{ Гс}$ . Мы предполагаем, что подобные процессы наблюдались в Дармштадте, GSI (Германия) [6]. В настоящее время в GSI строится новый проект FAIR, одной из задач которого является проверка квантово-электродинамической теории в сильных электромагнитных полях. В принципе, в рамках FAIR возможна постановка экспериментов по наблюдению КЭД-процессов в магнитном поле, создаваемом тяжелыми ионами.

Процесс рождения электрон-позитронной пары электроном в магнитном поле впервые упоминается в работах [7, 8]. Тем не менее, последовательное квантово-электродинамическое вычисление вероятности не проводилось. Кросс-каналом данного процесса является рассеяние электрона на электроне [9].

Целью данной работы является вычисление в рамках картины Фарри вероятности рождения пары электроном вблизи порога процесса. При этом напряженность магнитного поля близка к критической  $H_c$ , но не превышает ее значения, так что

---

\*E-mail: novak-o-p@ukr.net

\*\*E-mail: rkholodov@yahoo.com

\*\*\*E-mail: pfomin@bitp.kiev.ua

$$h = H/H_c \ll 1. \quad (1)$$

Мы ограничимся рассмотрением только тех случаев, когда конечные частицы оказываются на основных уровнях Ландау.

## 2. КИНЕМАТИКА

Диаграммы Фейнмана процесса рождения электрон-позитронной пары электроном представлены на рис. 1. Прямые линии на рисунке представляют решения уравнения Дирака в присутствии классического однородного магнитного поля. При этом напряженность поля по порядку величины меньше критической  $H_c \approx 4.41 \cdot 10^{13}$  Гс.

Выберем систему координат, в которой магнитное поле **H** направлено вдоль оси  $z$ . Тогда собственные значения энергии электрона в магнитном поле равны

$$E_l = \sqrt{p_z^2 + m^2 + m^2 2lh}. \quad (2)$$

Здесь  $l$  — номер уровня Ландау,  $p_z$  —  $z$ -компоненты импульса электрона.

Магнитное поле не изменится при переходе в систему отсчета, которая движется вдоль оси  $z$ , поэтому без потери общности продольную компоненту импульса начального электрона можно положить равной нулю:  $p_z = 0$ . Следовательно,

$$E = \tilde{m} = m\sqrt{1+2lh} \quad (3)$$

для начального электрона.

Кинематика процесса определяется следующими законами сохранения:

$$\begin{aligned} E_1 + E_2 + E_+ &= E, \\ p_{1z} + p_{2z} + p_{+z} &= p_z = 0, \end{aligned} \quad (4)$$

где  $E$  и  $p_z$  — энергия и продольный импульс начального электрона,  $E_1, E_2, E_+$  — энергии конечных электронов и позитрона,  $p_{1z}, p_{2z}, p_{+z}$  — их продольные импульсы.

Прежде всего отметим, что процесс невозможен, если энергии начального электрона недостаточно для рождения пары. Нетрудно убедиться, что условие порога имеет вид

$$\begin{aligned} p_{1z} = p_{2z} = p_{+z} &= 0, \\ \tilde{m} &= \tilde{m}_1 + \tilde{m}_2 + \tilde{m}_+. \end{aligned} \quad (5)$$

В общем случае данное условие не может быть выполнено, поскольку эффективные массы являются

дискретными величинами. Таким образом, имеют место ненулевые пороговые значения продольных импульсов конечных частиц. Разлагая выражение (4) в ряд по импульсам, получим следующее соотношение:

$$\frac{p_{1z}^2}{b_1^2} + \frac{p_{2z}^2}{b_2^2} + \frac{p_{+z}^2}{b_+^2} = 1, \quad (6)$$

где

$$\begin{aligned} b_f^2 &= 2\tilde{m}_f \Delta, \\ \Delta &= \tilde{m} - \tilde{m}_1 - \tilde{m}_2 - \tilde{m}_+, \end{aligned}$$

а индекс  $f$  нумерует конечные частицы ( $f = 1, 2, +$ ).

Легко убедиться, что на пороге процесса, когда

$$l_f = 0, \quad (7)$$

выполняются следующие условия:

$$\begin{aligned} \tilde{m}_f &= m, \\ \Delta &\leq mh, \\ p_{fz} &\lesssim m\sqrt{h}. \end{aligned} \quad (8)$$

В системе координат, где по осям отложены импульсы  $p_{1z}, p_{2z}, p_{+z}$ , закон сохранения энергии (6) задает эллипсоид. Возможные значения импульсов соответствуют точкам эллипса, образованного пересечением эллипсоида (6) и плоскости, которая задается законом сохранения импульса (рис. 2):

$$p_{1z} + p_{2z} + p_{+z} = 0. \quad (9)$$

## 3. ВЕРОЯТНОСТЬ ПРОЦЕССА

Согласно общим правилам квантовой электродинамики амплитуда вероятности процесса имеет вид

$$\begin{aligned} S_{fi} = i\alpha \int \int d^4x d^4x' [(\bar{\Psi}_2 \gamma^\mu \Psi) D_{\mu\nu} (\bar{\Psi}'_1 \gamma^\nu \Psi'_+) - \\ - (\bar{\Psi}_1 \gamma^\mu \Psi) D_{\mu\nu} (\bar{\Psi}'_2 \gamma^\nu \Psi'_+)]. \end{aligned} \quad (10)$$

Здесь штрих у волновой функции означает, что она зависит от компонент штрихованного 4-радиус-вектора  $x'$ . Подставим в амплитуду волновые функции [10] и фотонный пропагатор [11]:

$$D_{\mu\nu} = \frac{g_{\mu\nu}}{(2\pi)^4} \int d^4k e^{-ik(x-x')} \frac{4\pi}{k_j k_j}. \quad (11)$$

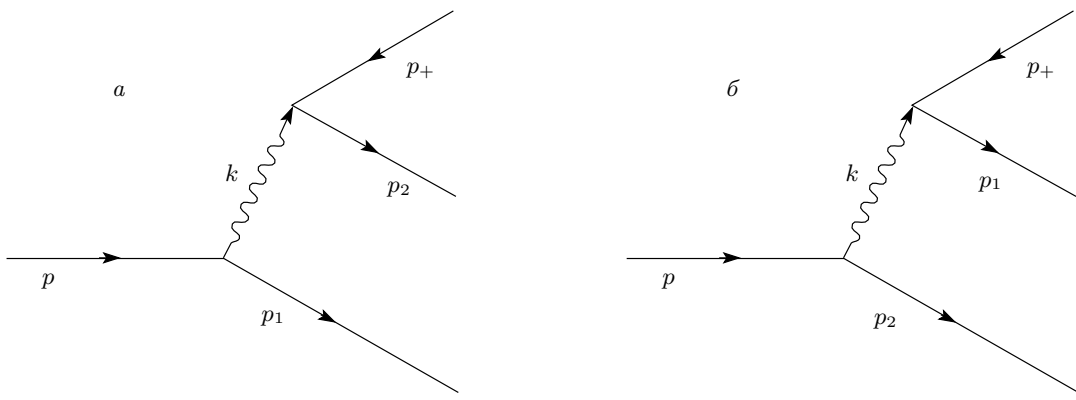


Рис. 1. Прямая (а) и обменная (б) диаграммы Фейнмана процесса рождения электрон-позитронной пары электроном в магнитном поле

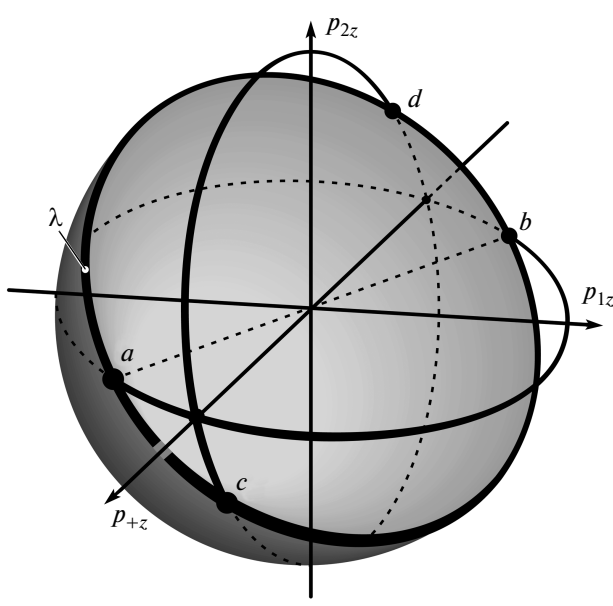


Рис. 2. Пороговые импульсы частиц — точки эллипса  $\lambda$ . Точки  $a$  и  $b$  представляют собой точки пересечения эллипса  $\lambda$  с плоскостью  $(p_{+z}, p_{1z})$ ,  $c$  и  $d$  — с плоскостью  $(p_{2z}, p_{+z})$

Зависимости волновых функций от времени и координат  $y$ ,  $z$ ,  $y'$ ,  $z'$  имеют такой же вид, как для плоских волн, поэтому интегрирование по этим величинам дает  $\delta$ -функции, выражающие законы сохранения энергии и импульса. Интегралы по координатам  $x$  и  $x'$  могут быть выражены через специальные функции, изученные в работах [7, 8]. Подставляя их явный вид при  $l_f = 0$ , получим следующее выражение для амплитуды вероятности процесса:

$$S_{fi} = S_1 - S_2. \quad (12)$$

Здесь

$$S_1 = \frac{i\alpha 2\pi^3}{S^2 \sqrt{\tilde{m} E E_1 E_2 E_+}} \frac{B_1^\pm \sqrt{\tilde{m} - \mu m}}{m \sqrt{l! h}} e^{-a^2} X_1 \times \\ \times \delta(E - E_1 - E_2 - E_+) \delta(p_y - p_{1y} - p_{2y} - p_{+y}) \times \\ \times \delta(p_z - p_{1z} - p_{2z} - p_{+z}),$$

$S_2$  — обменное слагаемое,

$$X_1 = \int \frac{(a + i\xi)^l}{\rho^2 - \xi^2} e^{-\xi^2 - 2ib\xi} d\xi, \quad (13)$$

$$a = \frac{p_y - p_{1y}}{m\sqrt{2h}}, \\ b = \frac{p_y - p_{2y}}{m\sqrt{2h}}, \\ \xi = \frac{k_x}{m\sqrt{2h}}, \\ \rho^2 = \Omega^2 - a^2, \quad \Omega^2 = h/2, \quad (14)$$

$$B_1^+ = 4m\sqrt{m\tilde{m}}, \quad B_1^- = 4p_{1z}\sqrt{m\tilde{m}}. \quad (15)$$

Вероятность процесса получим, умножив квадрат модуля амплитуды на число конечных состояний:

$$dW = |S_{fi}|^2 \frac{S d^2 p_1}{(2\pi)^2} \frac{S d^2 p_2}{(2\pi)^2} \frac{S d^2 p_+}{(2\pi)^2}, \quad (16)$$

где  $d^2 p_f = dp_{fy} dp_{fz}$ . Возведя модуль (12) в квадрат, получим дифференциальную вероятность процесса в единицу времени:

$$dW = M \left| e^{-a^2} X_1 B_1^\pm - e^{-b^2} X_2 B_2^\pm \right|^2 \times \\ \times \delta(E - E_1 - E_2 - E_+) \delta(p_y - p_{1y} - p_{2y} - p_{+y}) \times \\ \times \delta(p_z - p_{1z} - p_{2z} - p_{+z}) d^2 p_1 d^2 p_2 d^2 p_+, \quad (17)$$

где

$$M = \frac{\alpha^2(\tilde{m} - \mu m)}{2^7 \pi^3 m^2 \tilde{m} E E_1 E_2 E_+ h l!}. \quad (18)$$

Интегрирование по  $d^2 p_+$  легко провести при помощи  $\delta$ -функций  $\delta(p_y - p_{1y} - p_{2y} - p_{+y})\delta(p_z - p_{1z} - p_{2z} - p_{+z})$ . После этого вероятность принимает следующий вид:

$$dW = 2m^2 h M [((B_1^\pm)^2 + (B_2^\pm)^2) Y - 2B_1^\pm B_2^\pm Y'] \times \delta(E - E_1 - E_2 - E_+) dp_{1z} dp_{2z}, \quad (19)$$

где введены обозначения

$$\begin{aligned} Y &= \iint da db |e^{-a^2} X_1|^2, \\ Y' &= \iint da db e^{-a^2 - b^2} \operatorname{Re}(X_1 X_2^*). \end{aligned} \quad (20)$$

Величина  $Y'$  определяет интерференционное слагаемое в вероятности процесса.

В выражении (19)  $\delta$ -функцию от энергий частиц преобразуем к  $\delta$ -функции от компонент импульса:

$$\delta(E - E_1 - E_2 - E_+) = \frac{m \sum_{j=\pm} \delta(p_{1z} - g_j)}{\sqrt{4m\Delta - 3p_{2z}^2}}, \quad (21)$$

где

$$g_\pm = \frac{1}{2} \left( -p_{2z} \pm \sqrt{4m\Delta - 3p_{2z}^2} \right).$$

В силу выбранных условий (1), (7) и (8) зависимостью вероятности от  $z$ -компонент импульсов можно пренебречь везде, кроме множителей  $B_1^-$ ,  $B_2^-$  и  $\delta$ -функции (21), поэтому интегрирование вероятности (19) легко провести в конечном виде. В результате получим следующие выражения:

$$W^+ = \frac{\alpha^2 \cdot 2m}{3\pi^2 \sqrt{3}l!} (Y - Y'), \quad (22)$$

$$W^- = \frac{\alpha^2 \cdot 4\Delta}{9\pi^2 \sqrt{3}l!} (2Y + Y'). \quad (23)$$

Вычислим величины  $Y$ ,  $Y'$ . Прежде всего отметим, что из физических соображений в общем случае можно считать, что  $a \sim \xi$ , поэтому в разложении бинома в формуле (13) основной вклад дает среднее слагаемое с  $\xi^{l/2}$ . Кроме того, численный анализ данного выражения показывает, что интегралом в смысле главного значения можно пренебречь по сравнению с вычетом в полюсе. Используя эти предположе-

ния, можно легко вычислить интеграл  $X_1$ , а затем получить следующий результат для  $Y$  и  $Y'$ :

$$Y = 4\sqrt{2}\pi^2 \Omega^{2l} e^{-2\Omega^2} \frac{l!}{l\Gamma(l/2 + 1)^2}, \quad (24)$$

$$Y' \ll Y,$$

где  $\Gamma$  — гамма-функция.

Подставляя  $Y$  в формулы (22), (23) и пренебрегая интерференционным слагаемым, получим окончательные выражения для полной вероятности процесса (в единицу времени,  $\text{с}^{-1}$ ):

$$W^+ = \alpha^2 \frac{mc^2}{\hbar} \frac{8\sqrt{2}}{3\sqrt{3}} \frac{\Omega^{2l} e^{-2\Omega^2}}{l\Gamma(l/2 + 1)^2}, \quad (25)$$

$$W^- = \alpha^2 \frac{mc^2}{\hbar} \frac{\Delta}{m} \frac{32\sqrt{2}}{9\sqrt{3}} \frac{\Omega^{2l} e^{-2\Omega^2}}{l\Gamma(l/2 + 1)^2}. \quad (26)$$

#### 4. АНАЛИЗ ВЕРОЯТНОСТИ

Проанализируем полученный результат. Прежде всего отметим, что полная вероятность не содержит особенностей, когда продольные импульсы частиц равны нулю, характерных для процесса фоторождения  $\gamma \rightarrow ee^+$  [12–14].

Из формул (25), (26) легко получить отношение вероятностей:

$$\frac{W^-}{W^+} = \frac{4}{3} \frac{\Delta}{m}, \quad (27)$$

где  $\Delta = E - 3m$ . Как было указано ранее, вблизи порога процесса  $\Delta \lesssim mh$ , поэтому  $W^- \ll W^+$ . В частном случае, когда магнитное поле равно  $h = 4/l$ , выполняется равенство  $\Delta = 0$  и поэтому  $W^- = 0$  (в пределах точности приближения).

На рис. 3 представлены графики зависимости полной вероятности от номера уровня Ландау начального электрона. Магнитное поле принимается равным  $h = 0.1$ , при этом пороговое значение уровня Ландау начального электрона  $l = 40$ . Как видим, вероятность процесса имеет порядок  $10^{13} \text{ с}^{-1}$ :

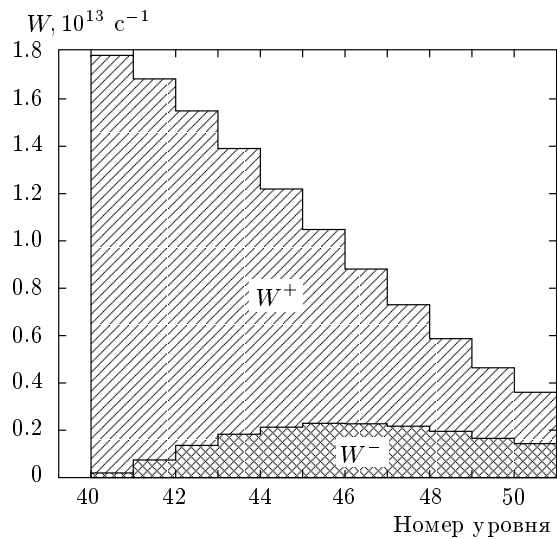
$$W^+ \sim 10^{13} \text{ с}^{-1}. \quad (28)$$

С возрастанием номера  $l$  обе вероятности убывают, а вблизи порога  $W^-$  стремится к нулю.

В заключение сравним вероятность рассмотренного процесса с вероятностями других процессов. В таблице приведены значения вероятностей процессов излучения, фоторождения, двойного синхротронного излучения (подобный процесс в поле ла-

Таблица. Сравнение вероятностей процессов,  $h = 0.1$ 

Процесс	Излучение	Фоторождение	Двойное излучение	Фоторождение с излучением	Рождение пары электроном
Диаграмма					
Начальные условия	$l = 40, l' = 0$	$\omega = 2m, l_- = l_+ = 0$	Нижайшие уровни	Нижайшие уровни	$l = 40, E = 2m, l_f = 0$
Вероятность, $c^{-1}$	$W_{e \rightarrow \gamma e}^{total} \sim 10^{17}$ $W_{e \rightarrow \gamma e}^{\omega > 2m} \sim 10^{14}$ $W_{e \rightarrow \gamma e}^{1 \rightarrow 0} \sim 10^{16}$	$W_{\gamma \rightarrow ee^+} \sim 10^9$	$W_{e \rightarrow e\gamma\gamma}^{res} \sim W_{e \rightarrow \gamma e}^{1 \rightarrow 0}$	$W_{\gamma \rightarrow \gamma ee^+}^{nonres} \sim 10^6$ $W_{\gamma \rightarrow \gamma ee^+}^{res} \sim W_{\gamma \rightarrow ee^+}$	$W \sim 10^{13}$
Литература	[7, 14, 18]	[7, 13, 14, 17, 19]	[20]	[21]	—

Рис. 3. Зависимости полной вероятности рождения пары на основные уровни от номера уровня Ландау начального электрона,  $h = 0.1$ 

зерной волны рассмотрен в работах [15, 16]), фоторождения с испусканием фотона, рождения па-

ры электроном. Магнитное поле равно  $h = 0.1$  ( $\approx 4.4 \cdot 10^{12}$  Гс).

Для вероятности фоторождения используем выражение, полученное в рамках ультраквантового приближения [14, 17]. Положим частоту начального фотона  $\omega = 2m$ , номера уровней электрона и позитрона  $l_f = 0$ , магнитное поле  $h = 0.1$ . Вероятность фоторождения имеет резонансный характер и существенно зависит от величины  $z$ -компоненты импульсов частиц. Выберем их порядка  $m\sqrt{h}$ , исходя из полученной оценки (8). Тогда

$$W_{\gamma \rightarrow ee^+} \approx 3.7 \cdot 10^9 \text{ c}^{-1}.$$

Для оценки вероятности излучения необходимо использовать ультрарелятивистское приближение [7, 14]. Выбрав энергию начального электрона равной  $3m$ , получим оценку полной вероятности синхротронного излучения

$$W_{e \rightarrow \gamma e}^{total} \approx 2.8 \cdot 10^{17} \text{ c}^{-1}.$$

Сюда, однако, входят процессы излучения фотона с энергией, недостаточной для рождения пары. Вероятность излучить фотон с энергией от  $2m$  до  $\omega_{max} \approx 3m$  приблизительно равна

$$W_{e \rightarrow \gamma e}^{\omega > 2m} \approx 6.8 \cdot 10^{14} \text{ c}^{-1}.$$

Авторы выражают благодарность С. П. Рощупкину и В. Е. Сторижко за ценные замечания и обсуждения.

## ЛИТЕРАТУРА

1. С. Шапиро, С. Тьюоколски, *Черные дыры, белые карлики и нейтронные звезды. Физика компактных объектов*, Мир, Москва (1985).
2. A. K. Harding, A. G. Muslimov, and B. Zhang, *Astrophys. J.* **576**, 366 (2002).
3. N. Harrison and S. Crooker, *Mag Lab Reports*, Vol. 14, Rep. № 1, p. 11 (2007).
4. А. Д. Сахаров, УФН **161**(5), 29 (1991).
5. D. L. Burke et al., *Phys. Rev. Lett.* **79**, 1626 (1997).
6. I. Koenig, E. Berdermann, F. Bosch et al., *Z. Phys. A* **346**, 153 (1993).
7. Н. П. Клепиков, ЖЭТФ **26**, 19 (1954).
8. А. И. Никишов, *Труды ФИАН*, Наука, Москва (1979), т. 111, с. 152.
9. C. Graziani, A. K. Harding, and R. Sina, *Phys. Rev. D* **51**, 7097 (1995).
10. П. И. Фомин, Р. И. Холодов, ЖЭТФ **117**, 319 (2000).
11. В. Б. Берестецкий, Е. М. Лифшиц, Л. П. Питалевский, *Квантовая электродинамика*, Физматлит, Москва (2001).
12. А. Е. Шабад, *Труды ФИАН*, Наука, Москва (1988), т. 192, с. 5.
13. A. K. Harding, *Phys. Rep.* **206**, 327 (1991).
14. O. P. Novak and R. I. Kholodov, *Phys. Rev. D* **80**, 025025 (2009).
15. O. I. Voroshilo and S. P. Roshchupkin, *Probl. Atom. Sci. Thechnol.* **3**, 221 (2007).
16. E. Lötstedt and U. D. Jentschura, *Phys. Rev. Lett.* **103**, 110404 (2009).
17. O. P. Novak and R. I. Kholodov, *Ukr. J. Phys.* **53**, 185 (2008).
18. R. I. Kholodov and P. V. Baturin, *Ukr. J. Phys.* **46**, 621 (2001).
19. V. N. Baier and V. M. Katkov, *Phys. Rev. D* **75**, 073009 (2007).
20. П. И. Фомин, Р. И. Холодов, ЖЭТФ **123**, 356 (2003).
21. P. I. Fomin and R. I. Kholodov, *Probl. Atom. Sci. Thechnol.* **3**, 179 (2007).